



Artículo

# Estructuras resilientes y sostenibles a través de SHM basado en EMI Evaluación de una innovadora cuerda C-FRP Técnica de fortalecimiento

Nikos A. Papadopoulos \*, María C. Naoum

George M. Sapidis y Constantin E. Chalioris



Laboratorio de Hormigón Armado y Diseño Sísmico de Estructuras, Departamento de Ingeniería Civil, Facultad de Ingeniería, Universidad Demócrito de Tracia, 67100 Xanthi, Grecia; mnaoum@civil.duth.gr (MCN); gsapidis@civil.duth.gr (GMS); chaliori@civil.duth.gr (CEC)

\* Correspondencia: nikpapad@civil.duth.gr

Resumen: Los miembros de hormigón armado (CR) en estructuras de CR existentes son susceptibles a corte crítico debido a su diseño poco reforzado. Por lo tanto, implementar una técnica de retrofitting es esencial para eliminar las víctimas que podrían surgir de colapsos repentinos y catastróficos debido a la fragilidad de estos miembros. Entre otras técnicas propuestas, el uso de cuerdas de polímeros reforzados con fibra de carbono (C-FRP) para aumentar la resistencia al corte de elementos estructurales de RC ha demostrado ser una aplicación de refuerzo prometedora. Además, se empleó un método de impedancia electromecánica (basado en EMI) que utiliza titanato de circonato de plomo (habilitado por PZT) para evaluar la eficiencia del esquema de refuerzo. Inicialmente, la técnica propuesta se aplicó a cuerdas C-FRP sometidas a pruebas de extracción. Por lo tanto, se logró una correlación de la resistencia a la tracción de la cuerda con las respuestas EMI del parche PZT utilizando el índice métrico de desviación cuadrática media (RMSD). Posteriormente, el método se implementó con los datos adquiridos experimentalmente de cables C-FRP, utilizados como refuerzo de corte en una viga rectangular de gran altura. Las cuerdas se instalaron utilizando el esquema Embedded Through Secció Además, se intentó un enfoque para evaluar la capacidad de carga residual basada en las respuestas EMI adquiridas al estar incrustados y unidos a los PZT de las cuerdas, demostrando resultados prometedores y buena precisión en comparación con la predicción analítica de las cuerdas C-FRP. Contribución a la resistencia al corte.



Cita: Papadopoulos, NA; Naoum, MC;

Sapidis, GM

Chalioris, CE Resiliente y

Estructuras sustentables a través de Evaluación SHM basada en EMI de un

Innovadora técnica de

fortalecimiento de cuerdas C-FRP. Aplica. Mec. 2024, 5, 405–419. https://doi.org/10.3390/applmech5030024

Recibido: 28 de abril de 2024 Revisado: 30 de mayo de 2024 Aceptado: 5 de junio de 2024 Publicado: 21 de iunio de 2024



Copyright: © 2024 por los autores. Licenciatario MDPI, Basilea, Suiza.

Este artículo es un artículo de acceso abierto.
distribuido bajo los términos y
condiciones de los Creative Commons
Licencia de atribución (CC BY) (https://
creativecommons.org/licenses/by/
4.0/).

Palabras clave: monitoreo de salud estructural (MSS); impedancia electromecánica (EMI); transductor piezoeléctrico (PZT); cuerda C-FRP; técnica de modernización por corte; extraer

### 1. Introducción

Una porción significativa de los miembros de concreto reforzado (CR) dentro de estructuras de CR existentes a menudo sufren de un refuerzo insuficiente contra el corte, principalmente debido a disposiciones de diseño obsoletas e inadecuadas. Estos miembros son vulnerables al agrietamiento crítico por corte, lo que plantea el riesgo de fallas frágiles debido a su capacidad de resistencia y deformación insuficientes [1,2]. Como resultado, la implementación de técnicas de modernización para reforzar la capacidad de carga de corte se vuelve imperativa para mitigar las posibles víctimas derivadas de colapsos repentinos y catastróficos de estos frágiles miembros del RC [3,4].

Entre la variedad de técnicas de modernización disponibles, el revestimiento de RC es una opción popular para abordar las deficiencias en los miembros de RC dentro de los subconjuntos estructurales existentes [5,6]. Numerosos estudios han destacado los beneficios del revestimiento RC convencional para aumentar la capacidad de carga [7], la rigidez y la eficiencia general de la respuesta estructural [8,9].

Sin embargo, a pesar de su eficacia, el revestimiento RC convencional tiene limitaciones. Desafíos como las alteraciones en las características dinámicas estructurales resultantes de aumentos significativos en la masa y la rigidez y la naturaleza intensiva en mano de obra del proceso han estimulado a los investigadores a explorar técnicas de modernización alternativas utilizando materiales alternativos. Este impulso hacia la innovación tiene como objetivo superar los inconvenientes asociados con las tecnologías convencionales.

Aplica. Mec. 2024. 5

Revestimiento de RC y al mismo tiempo mejora eficazmente la integridad estructural y el rendimiento de los miembros de RC existentes [10-12].

Otra vulnerabilidad de las estructuras de CR erigidas bajo regulaciones obsoletas es su susceptibilidad a problemas morfológicos derivados de una falta de conciencia sobre el diseño sísmico [13]. La construcción de elementos estructurales cortos introduce riesgos a la respuesta sísmica de la estructura. Los elementos cortos, como columnas cortas y vigas altas, son propensos a exhibir modos de falla frágil, reduciendo así su contribución a la ductilidad general de la estructura [14]. Las vigas de gran altura, principalmente, son elementos estructurales críticos en estructuras de RC debido a su fuerte comportamiento a cortante [15].

En general, la falla por corte en estructuras de RC puede resultar en colapsos repentinos e inesperados de secciones o incluso de toda la estructura, poniendo así en peligro la integridad y seguridad de los ocupantes [16]. Estas deficiencias estructurales subrayan la necesidad urgente de medidas de modernización y fortalecimiento para mejorar la resiliencia sísmica de las estructuras de CR existentes y mitigar los riesgos asociados que plantean las fallas inducidas por corte.

Una viga se clasifica como profunda o corta según su relación de corte, que se determina mediante la ecuación (1). Específicamente, si la relación de corte, calculada mediante la ecuación (1), cae por debajo de 2,5, la viga se clasifica como profunda. Esta clasificación es crucial en ingeniería estructural, ya que ayuda a identificar vigas con un comportamiento de corte distintivo, informando consideraciones de diseño y estrategias de modernización para garantizar la integridad y seguridad estructural.

$$\alpha s = \frac{av}{d} = \frac{ustreo}{V d} \le 2,5$$
 (1)

406

donde αν representa el tramo cortante del elemento, d significa la altura estática y M y V denotan las magnitudes del momento flector y la fuerza cortante de la sección transversal, respectivamente.

Según el principio de Saint-Venant, la aplicación de carga externa induce regiones perturbadas dentro de vigas profundas, donde los soportes se superponen, anulando así las áreas donde se aplica el principio de Bernoulli a la viga en flexión. En consecuencia, el análisis de vigas de gran altura requiere la adopción de técnicas de simulación de puntales y tirantes, donde el hormigón asume la responsabilidad de transferir las fuerzas de compresión mientras que el refuerzo longitudinal aborda las fuerzas de tracción.

La respuesta mecánica de las vigas de gran altura está profundamente influenciada por sus propiedades geométricas, condiciones de carga y la presencia de refuerzo transversal. En las estructuras de RC, las vigas de gran altura plantean una necesidad apremiante de intervenciones de refuerzo debido a su ductilidad limitada y a la provisión inadecuada de refuerzo transversal.

La incapacidad de rehabilitar ampliamente la infraestructura y las estructuras existentes ha estimulado el desarrollo de nuevas metodologías de seguimiento y fortalecimiento. Estos enfoques innovadores buscan abordar las deficiencias de las estructuras RC existentes y al mismo tiempo mejorar su resiliencia y longevidad frente a la carga dinámica y los desafíos ambientales.

### 2. Innovación propuesta y objetivo del estudio En las

últimas décadas, los polímeros reforzados con fibras (FRP) unidos externamente con resinas epoxi han surgido como soluciones de referencia para rehabilitar [17-19], reforzar, mejorar y reparar el hormigón armado (RC). ) estructuras. Estas aplicaciones abarcan varios elementos estructurales [20], incluidas vigas reforzadas por corte [21,22], vigas reforzadas por torsión [23] y subconjuntos viga-columna reforzados por cortante [24], debido a sus innumerables ventajas. .

Estas ventajas incluyen alta resistencia a la tracción y a la fatiga, propiedades livianas y una resistencia excepcional a la corrosión [25,26]. Cabe destacar que los polímeros reforzados con fibra de carbono (CFRP) destacan por su rendimiento superior en estas propiedades en comparación con otros FRP.

Además, los CFRP cuentan con una alta rigidez, lo que les permite satisfacer las demandas de refuerzo de las estructuras de hormigón y al mismo tiempo adaptarse a la deformación de los elementos estructurales [27]. Esta característica mejora su idoneidad para aplicaciones de modernización donde es primordial mantener la integridad estructural bajo diferentes condiciones de carga.

Sin embargo, a pesar de los numerosos beneficios que ofrecen los materiales FRP, existen preocupaciones en torno a su aplicación en entornos estructurales reales. Problemas como la delaminación prematura

Se han planteado fallas y baja resistencia al fuego, lo que provocó una cuidadosa consideración durante su implementación [28]. La cohesión reducida observada en la zona interfacial entre el compuesto de FRP y la superficie del concreto puede conducir a una respuesta de deformación inferior a la diseñada, disminuyendo en consecuencia la eficiencia de adaptación de los FRP aplicados debido a una desunión prematura [29,30].

407

Abordar estas preocupaciones y optimizar el rendimiento de los materiales FRP en aplicaciones estructurales siguen siendo áreas críticas de investigación y desarrollo. Al mejorar la resistencia de la unión interfacial, mejorar las propiedades de resistencia al fuego y explorar técnicas innovadoras de modernización, se puede lograr todo el potencial de los FRP para mejorar la durabilidad y la resiliencia de las estructuras de RC.

Además, una extensa investigación en la literatura existente ha identificado consistentemente el modo de falla predominante en elementos RC modernizados que utilizan compuestos de FRP adheridos externamente con epoxi como desunión o delaminación prematura de la capa de FRP del sustrato de concreto. Este modo de falla generalmente es inducido por concentraciones de alta tensión y está asociado con falla frágil [31]. Este fenómeno es particularmente prevalente en elementos de CR en forma de T sujetos a esquemas de refuerzo en forma de U, donde la presencia de la losa restringe la aplicabilidad del FRP que se envuelve alrededor de la sección transversal y limita la accesibilidad para la correcta implementación del anclaje final, exacerbando así la riesgo de fallo prematuro de la desunión.

En este contexto, Chalioris et al. investigaron los beneficios potenciales de una nueva técnica de refuerzo para mejorar la capacidad de corte y mejorar la ductilidad de vigas altas de RC críticas para el corte [27]. El estudio se centró en el refuerzo transversal utilizando únicamente cuerdas C-FRP. Se exploraron dos configuraciones diferentes para implementar cables C-FRP: sección pasante integrada (ETS) para vigas de sección transversal rectangular y montada cerca de la superficie (NSM) para vigas altas con bridas en forma de T. En ambos casos, el desempeño experimental de la técnica de refuerzo por corte aplicada arrojó resultados prometedores, ya que las vigas críticas por corte bajo examen finalmente experimentaron falla por flexión. Estos hallazgos resaltan la eficacia del enfoque de refuerzo propuesto para mejorar el desempeño estructural de las vigas de gran altura de RC y mitigar el riesgo de falla inducida por corte.

Por lo tanto, el uso de cuerdas C-FRP para reforzar la resistencia al corte de los elementos estructurales de RC surge como una técnica de refuerzo prometedora. La versatilidad en las disposiciones de anclaje para estas cuerdas permite el pleno aprovechamiento de su alta resistencia a la tracción, proporcionando flexibilidad en las estrategias de diseño de modernización. Además, los cables C-FRP se pueden desplegar en múltiples configuraciones, incluso dentro de muescas preranuradas a lo largo de la altura de la viga (NSM) [32,33] o incrustadas a través del alma de la viga (ETS). Esta adaptabilidad permite a los ingenieros adaptar el enfoque de refuerzo para adaptarlo a los requisitos y limitaciones específicos de cada elemento estructural, maximizando así la eficacia de la intervención de refuerzo.

Si bien las técnicas propuestas presentan ventajas potenciales, importantes deficiencias requieren una mayor exploración. Investigaciones anteriores se han concentrado predominantemente en la detección temprana de daños en el refuerzo de FRP adherido con epoxi, proponiendo metodologías de pruebas no destructivas (END), particularmente en el refuerzo de estructuras de RC con materiales compuestos de FRP . Sin embargo, muchos de estos métodos resultan poco prácticos para estructuras grandes y complejas, debido a las limitaciones estructurales y la necesidad de un conocimiento previo de la ubicación del daño. Además, la mayoría de los enfoques de END se caracterizan por procedimientos que requieren mucho tiempo, altos costos, requisitos de acceso in situ y una falta de capacidades de monitoreo continuo en tiempo real . Estas limitaciones subrayan la necesidad de técnicas más robustas y versátiles para abordar eficazmente los desafíos de monitoreo estructural y detección de daños [16].

Como se destacó anteriormente, garantizar la integración perfecta de los elementos estructurales existentes con los materiales de refuerzo presenta un desafío multifacético lleno de incertidumbres. En consecuencia, monitorear la integridad estructural de los elementos estructurales modernizados se considera beneficioso para extender de manera segura su vida útil. Numerosos investigadores han profundizado en el ámbito de las técnicas de Monitoreo de la Salud Estructural (MAS) aplicables a elementos de concreto [34-36]. Sin embargo, las investigaciones dirigidas específicamente al SHM de los materiales

el hormigón que incorpora macrofibras sintéticas dispersas [37,38], los compuestos de FRP [39–41] y los estudios centrados en elementos estructurales reforzados con C-FRP son relativamente escasos en la literatura [42–45].

Si bien se reconoce ampliamente la importancia de la MAS para mejorar la durabilidad y seguridad de las estructuras de concreto, sigue habiendo una brecha notable en la investigación sobre la aplicación de estas técnicas al concreto reforzado con fibras y a elementos reforzados con FRP. Abordar esta brecha a través de investigaciones integrales sobre metodologías SHM adaptadas a estos materiales tiene un gran potencial para avanzar en el campo del monitoreo estructural y garantizar el desempeño a largo plazo de las estructuras modernizadas.

408

La fase experimental de este estudio implicó la implementación de un novedoso sistema de monitoreo en una viga reforzada por corte sometida a cargas de flexión en cuatro puntos, con el objetivo de evaluar la efectividad de la técnica de fortalecimiento con cuerda C-FRP. El método SHM propuesto empleó un sistema basado en impedancia electromecánica (EMI) habilitado con sensores piezoeléctricos de circonato-titanato de plomo (PZT) para el monitoreo inalámbrico de impedancia (WiAMS) [46].

En esta configuración experimental, las respuestas de frecuencia de voltaje de los parches PZT colocados a lo largo del perímetro de la cuerda C-FRP se registraron bajo diferentes niveles de carga aplicada. Estas condiciones de carga correspondían a diferentes estados de salud estructural o condiciones de daño. Además, se hicieron esfuerzos para evaluar cuantitativamente la contribución de los cables C-FRP a la resistencia al corte de la viga RC. Esta evaluación se facilitó mediante el análisis de los valores estadísticos del índice de daños derivados de los datos de monitoreo. Al correlacionar la respuesta del sistema de monitoreo con la carga aplicada y las condiciones de salud estructural, se obtuvieron conocimientos valiosos sobre el desempeño y la efectividad de la técnica de fortalecimiento de cuerdas C-FRP.

En el marco de este estudio experimental, el objetivo principal fue evaluar la viabilidad de EMI como método SHM aplicado para monitorear la integridad estructural, la eficacia y el rendimiento de cables C-FRP utilizados como técnica de modernización en una viga rectangular profunda. Se incorporaron sensores piezoeléctricos a lo largo de las cuerdas durante la instalación para lograr este objetivo. Luego se capturaron las respuestas de voltaje de estos PZT en el dominio de la frecuencia en varios estados de la carga aplicada y las correspondientes condiciones de salud estructural (niveles de carga).

Además, se llevó a cabo una evaluación del rendimiento de la técnica de modernización en los niveles de carga examinados. Esta evaluación se llevó a cabo utilizando valores derivados de la desviación cuadrática media (RMSD), un índice de daño estadístico comúnmente utilizado. Un aspecto único de este estudio implica el establecimiento de una metodología combinada, que incorpora las respuestas de los parches PZT incrustados dentro de las cuerdas de C-FRP durante las pruebas de extracción como datos de homogeneización de referencia. Al integrar datos tanto de la configuración experimental como de las pruebas de extracción, se logró una evaluación integral del rendimiento de la cuerda C-FRP bajo diversas condiciones de carga.

### 3. Programa Experimental

### 3.1. Características de la Viga Profunda

La Viga Profunda R poseía una sección transversal rectangular en su longitud, midiendo L=1,6 m, con un ancho de b=150 mm y una altura de h=300 mm. El refuerzo longitudinal de la Viga R-Deep se dispuso simétricamente, compuesto por 2 barras de Ø14 colocadas tanto en la zona de compresión como en la de tracción. Además, se colocaron estribos de Ø8/50 sólo en los extremos de la Viga R-Profunda, cerca de los soportes, para asegurar el refuerzo longitudinal y evitar el desconchado del hormigón.

La luz de corte de la viga fue  $\alpha$  = 400 mm y el recubrimiento total de concreto fue de 35 mm, lo que resultó en un canto efectivo de 265 mm. En consecuencia, se calculó que la relación de corte  $\alpha$ /d era 1,51. Se instaló verticalmente un cable C-FRP de un solo eslabón en el tramo de corte derecho, mientras que en el tramo de corte izquierdo, el cable se insertó en un orificio perforado con una inclinación de aproximadamente 52°. Ambas cuerdas se instalaron como refuerzo ETS. Todos los detalles de la viga se ilustran en la Figura 1.

Machine Translated by Google.

Aplica. Mec. 2024, 5

cuerdas un ataque -un nserton nto te re oes.

Relleno de huecos con resina epoxi para eliminar huecos y mejorar la coherencia entre los materiales incrustados.

 Aplicación de ligera tensión al extremo de las cuerdas para lograr el anclaje final formación.

 Adición de más resina epoxi a la superficie de las vigas para lograr una mayor suavidad surcos.

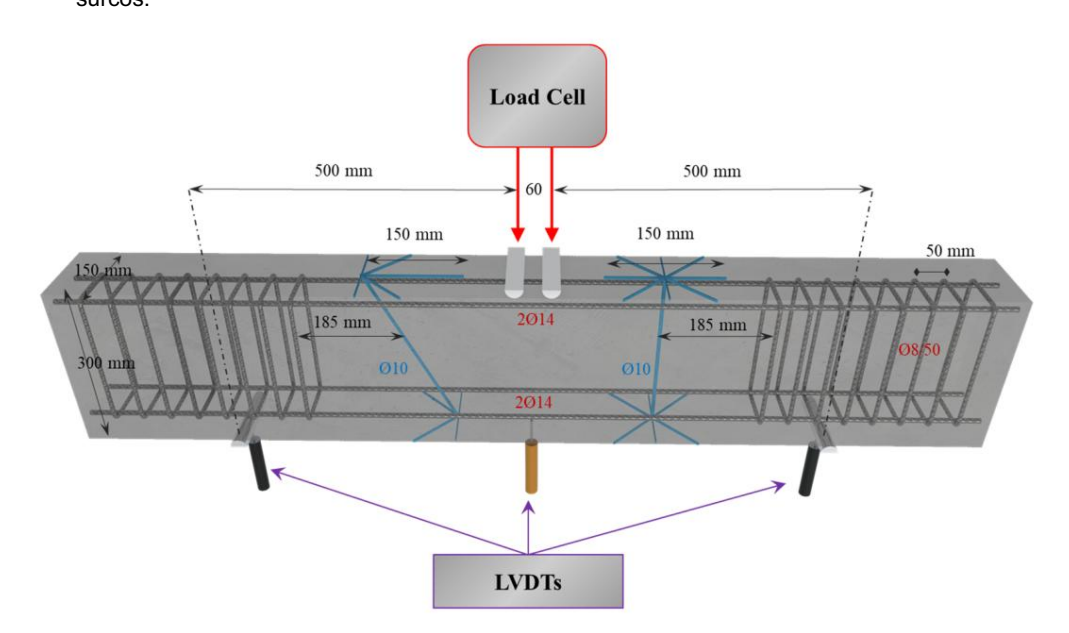


Figura 1. Detalles de geometría y refuerzo de la viga R-Deep Beam. Figura 1. Detalles de geometría y refuerzo de la viga R-Deep Beam.

El proceso de instalación del ETS para las Cuerdas C-FRP en "R-FRP" fue el siguiente: 3.2. Materiales

• Formación de las borlas del anclaje y perforación de los orificios al alma de la viga.

de ariestudio il lilizó y cuercaphio especial para con fibras de carbono flaxibles unidireccionales. • Uso Las especificacioses proporcionadas por el fabricante incluían un área de la sección transversal de los orificios aproximadamento a cuerta de la confidencia del la confidencia

Rellensteinfræmte epoxicie dié ala rature iés de la cuerda de persina epoxi (Sikadur-52, SIKA • Hellan Kenerda de recipia escrita escape de la como objetivo mejorante escape de la como objetivo de la c

· Adición de más resina epoxi a la superficie de las vigas para conseguir ranuras más suaves.

### 3.2. Materiales

El estudio utilizó cuerda C-FRP fabricada con fibras de carbono flexibles unidireccionales. Las especificaciones proporcionadas por el fabricante incluían un área de sección transversal de aproximadamente 20 malargamiento mínimo antes de rotura del 1,6%, y una rigidez (módulo de elasticidad) de 240 GPa para las fibras no impregnadas.

Posteriormente, la cuerda se sometió a saturación con resina epoxi (Sikadur-52, SIKA Hellas Kryoneri, Grecia), con las propiedades descritas en la Tabla 1. Este proceso tuvo como objetivo mejorar las propiedades mecánicas y la durabilidad de la cuerda C-FRP. Además, pasta epoxi. (Sikadur-330, SIKA Hellas, Kryoneri, Grecia) para rellenar y sellar las ranuras perforado para la configuración experimental, asegurando la adhesión adecuada y la integridad estructural.

Para evaluar las propiedades mecánicas del hormigón, cilindros de hormigón estándar. con dimensiones de 150 mm de diámetro y 300 mm de altura fueron sometidos a pruebas de resistencia a la compresión y a la rotura. El día de la prueba, el promedio de las vigas de concreto Se midieron resistencias a la compresión y a la tracción en 28,0 MPa y 2,70 MPa, respectivamente. La mezcla de concreto utilizada en los experimentos contenía un máximo de partículas de agregado con un diámetro de 16 mm.

Las barras de acero deformadas ( 14 mm) tenían un límite elástico de 580 MPa, mientras que las barras suaves los estribos de acero ( 8 mm) tenían un límite elástico de 310 MPa.

409

Se midieron resistencias a la presión y a la tracción en 28,0 MPa y 2,70 MPa, respectivamente.

La mezcla de hormigón utilizada en los experimentos contenía partículas de agregado con un diámetro máximo de 16 mm.

Las barras de acero deformadas ( 14 mm) tenían un límite elástico de 580 MPa, mientras que las barras suaves los estribos de acero ( 8 mm) tenían un límite elástico de 310 MPa. 410

Tabla 1. Propiedades mecánicas de cuerdas C-FRP.

FRP. Propiedades mecánicas del material Tabla 1. Propiedades mecánicas de los cables C-

			2100 GPa
Cuerda C-FRI			
SikaWrap FX-50C	Móduld elastico en tensión		230 GPa
•		2100 GPa	0.87%
(Laminado)	Módulo elástico en tensión	230 GPa	0,01 70
C:ld 200 F		0.87%	45MPa
Sikadur 300 E		0,0770	3.5 GPa
	TS	45MPa	-,-
Sikadur 330	Módulo elástico en tensión TS	3,5 GPa	30MPa
Omadai 000	Módulo elástico en tensión	22.115	4,5 GPa
0" 4 1 5 0	IS	30 MPa	444.145
Sika Anchorfix 3+	Módulo elástico en tensión Fuerza compresiva	4,5 GPa	114 MPa
	Fuerza compresiva	114 MPa	
	SikaWrap FX-50C (Laminado)	SikaWrap FX 50C  (Laminado)  Resistencia a latracción (En)rotura de tensión  Módulo elástico en tensión  TS  Sikadur 300 Elongación en rotura de tensión  Módulo elástico en tensión  TS  Sikadur 330  Módulo elástico en tensión  TS  Módulo elástico en tensión  TS  Módulo elástico en tensión  TS  Módulo elástico en tensión  TS	SikaWrap FX-50C  (Laminado) Resistencia a la tracción (TS) rotura de tensión  Sikadur 300 Elongación en rotura de tensión  TS  Sikadur 330 Módulo elástico en tensión  TS  Módulo elástico en tensión  TS  30 MPa  Sika Anchorfix 3+ Módulo elástico en tensión Fuerza compresiva  4.5 GPa

La viga se sometió a pruebas utilizando una configuración de flexión de cuatro puntos, como se ilustra en 3.3. Configuración de prueba prueba prueba prueba de prueba de prueba de la carga figura 2. Un actuador hidráulico, controlado por una máquina servocontrolada, aplicó una carga gradual. La viga se de la carga fiúa au una distancia de 60 mm. La viga se apoyó en sus bordes recentrado por en sus bordes a una distancia de 60 mm. La viga se apoyó en sus bordes recentrado proceso de segura figura figura de segura figura fi

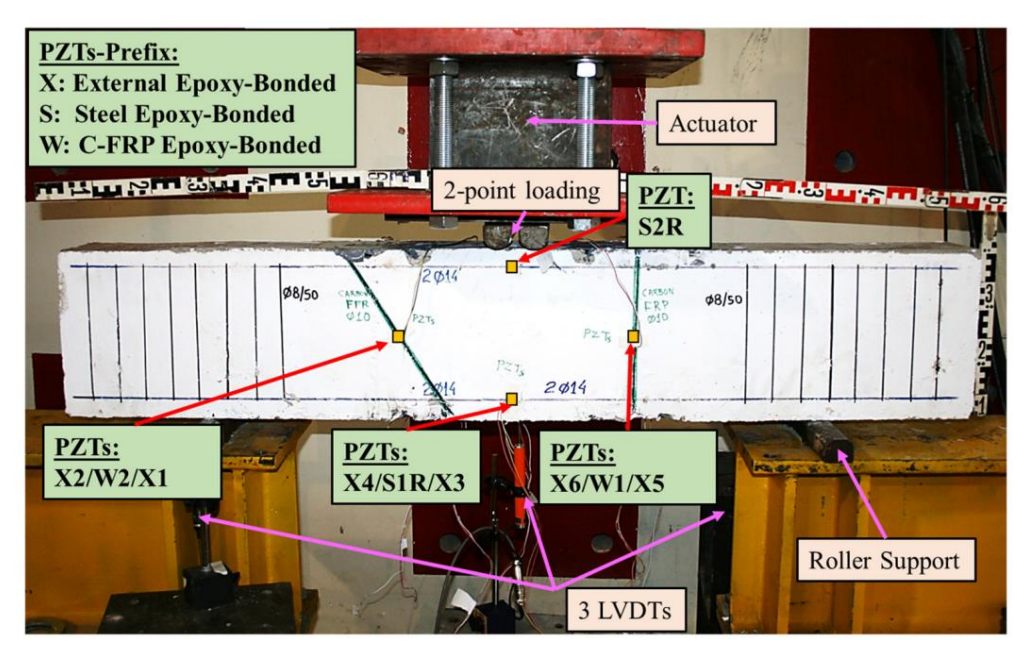


Figura 2. Configuración de procueda sinstrumenta ción configuración de PZT.

3.4. Se demprés do la ansdición de decarga esantiliza (L VPF) se por pres, concretamente de magnitud lineal, que se diferencian técnica de impedancia electromecánica (EMI ) para medir las deflexiones de las vigas.

## 3.4. Técnica de impedancia electromecánica (EMI)

La técnica EMI utiliza transductores PZT, aprovechando las propiedades ventajosas del fenómeno piezoeléctrico. Cuando se someten a tensión mecánica, los transductores PZT generar una carga eléctrica superficial y, a la inversa, aplicar un campo eléctrico induce vibración mecánica. Por lo tanto, al aprovechar este fenómeno, la EMI activa e induce vibraciones en transductores PZT adheridos o integrados dentro de una estructura anfitriona. Cualquier El cambio en la impedancia mecánica de la estructura (o admitancia inversa) se refleja en alteraciones en la señal eléctrica extraída del PZT (ya sea en voltaje o frecuencia) respuesta). La interacción entre el PZT y la estructura del huésped se representa como una firma de admitancia que comprende una parte real (conductancia) y una parte imaginaria (suspensiva).

vibración mecánica. Por lo tanto, al aprovechar este fenómeno, la EMI activa e induce vibraciones en transductores PZT adheridos o integrados dentro de una estructura anfitriona. Cualquier cambio en la impedancia mecánica de la estructura (o admitancia inversa) se refleja en alteraciones de la señal eléctrica extraída del PZT (ya sea en voltaje o respuesta de frecuencia). La interacción entre el PZT y la estructura huésped se representa como una firma de admitancia que comprende una parte real (conductancia) y una parte imaginaria (susceptancia). Estas interacciones manifiestan características estructurales dentro de la firma, como se describe en la Ecuación (2) para la admitancia compleja, del continued 24 fijed proceed and interactiones manifies an características estructurales

descrito por la Ecuazión (2) para la admitancia compleja, Y, del parche PZT fijado: (2)2d2 + <sup>2d2</sup>31YE  $-\frac{\overline{\epsilon_{33}}}{\epsilon_{33}}$ 

 $Y = = G + Bj = 4\omega j \qquad \frac{\epsilon_{33}}{h} \qquad \frac{3112}{(1-v)} + \frac{2a_1e_1}{(1-v)} \qquad \frac{2a_2e_1}{7s_2e_1f_1} + \frac{2a_2e_1}{r_2} \qquad (2)$ donde: tensión alterna armónica suministrada al circuito,: corriente que pasa por PZT, G: conductancia (la parte-real de la admitancia), B: susceptancia (la parte imaginaria de donde V: tensión alterna armonica suministrada al circuito, I: corriente que pasa a través de admitancia), i: unidad imaginaria, v: frecuencia angular, L: media longitud del parche, h: PZT grueso, G: conductancia (la parte real de la admitancia), B: susceptancia (la parte imaginaria de densidad del parche, d31: coeficiente de deformación piezoeléctrica del PZT, Za,eff: efecto en cortocircuito, admitancia), j: unidad imaginaria, v: frecuencia angular, L: media longitud del parche, h: espesor impedancia mecánica activa, Zs,eff: impedancia estructural efectiva, n: relación de Poisson, k: onda del parche, d31: coeficiente de deformación piezoeléctrica del PZT, Za,eff: efectiva en cortocircuito número relacionado con la frecuencia angular, : modulo de elasticidad de Young complejo impedancia no mecánica, Zs,eff: impedancia estructural efectiva, n: relación de Poisson, k: onda der campo eléctrico constante, y: permitividad eléctrica compleja del parche PZT a lo largo del : módulo nimero relacionado con la frecuencia angular, y de elasticidad de Young complejo bajo

campo eléctrico constante. V ε viga: Remitividad aléctrica compleja del parche PZT alo largo del ele rigidad el cualquier cambio en la viga: Remitividad aléctrica compleja del parche PZT alo largo del ele rigidad el cualquier cambio en la viga RC, como alteraciones en sus propiedades de masa y rigidad impedancia estructural efectiva. Estas alteraciones también conducirán a modificaciones en los parámetros estructurales, afectando en consecuencia estructural efectiva. Estas alteraciones también conducirán a modificaciones en los parámetros estructurales, afectando en consecuencia admitancia definida por la Ecuación (2), indicando así el estado de salud del ele- la impedancia estructural admitancia definida por la Ecuación (2), indicando así el estado de salud del ele- la impedancia estructural efectiva. Estas alteraciones darán lugar también a modificaciones en el mento.

admitancia Y, tal como se define en la ecuación (2), indicando así el estado de salud del elemento. En este estudio experimental, el enfoque seleccionado para detectar cambios en el instalado Los cables C-FRP estançados implicaron la utilización de transductores PZT excitados por un armónico sinusoidal. Los cables C-FRP implicaron la utilización de transductores PZT excitados por un armónico sinusoidal. tensión armónica de 2,5 y dentro de un rango de frecuencia específico que abarca de 10 a 250 kHz, con kHz, FRHUNGTEMPASTOSAPACTUARTZBATOPASTOJACTOPASTOJA de sondie toras generarios la señal de sondie ese sa di labasi de di la di l ralyicio está equipado con una alta potencia de procesamiento, lo que permite realizar cálculos pused purpler and a formate, not a compuse structure of the figure 3. se

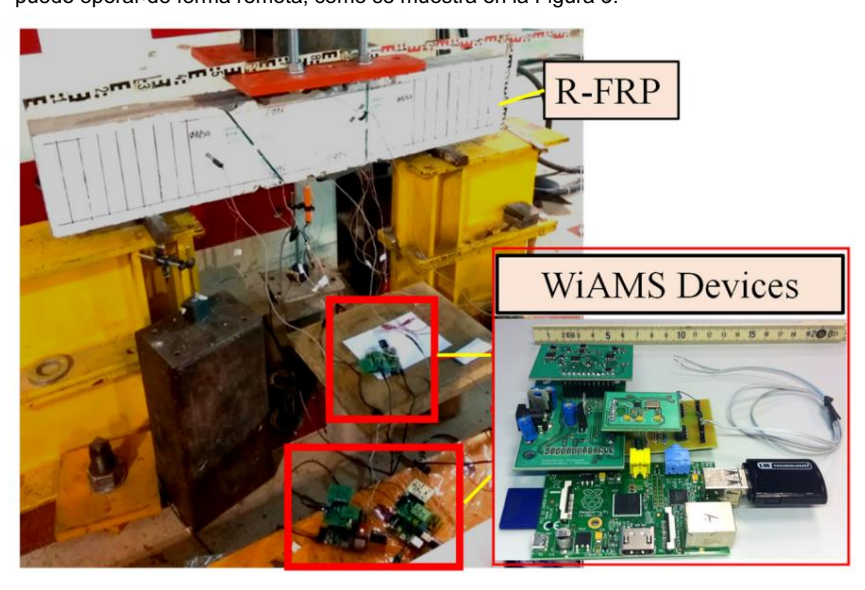


Figura 3. Figura positivos it Wood Mandel de la trector of Self Mpropuesto.

Al principio, las mediciones de EMI se llevaron a cabo en la viga en su estado prístino inicial. estado, estableciendo una línea base para su condición de salud declarada. Posteriormente, estas mediciones se repitieron bajo diversos escenarios de daño potencial, simulando condiciones que podría comprometer la integridad estructural. Los resultados obtenidos fueron luego meticulosamente comparar para evaluar cualquier desviación utilizando métricas estadísticas, particularmente la media raíz Desviación cuadrada (RMSD). Este análisis comparativo permitió la detección y evaluación de cambios estructurales, proporcionando información valiosa sobre el estado de salud de la viga y integridad bajo diferentes condiciones de carga. En este punto cabe mencionar que

Machine Translated by Google Las medidas se repitieron bajo varios escenarios de daño potencial, simulando condiciones que podrían comprometer la integridad estructural. Luego, los resultados obtenidos se compararon meticulosamente para evaluar cualquier desviación utilizando métricas estadísticas, en particular la desviación cuadrática media (RMSD). Este análisis comparativo permitió detectar y as-

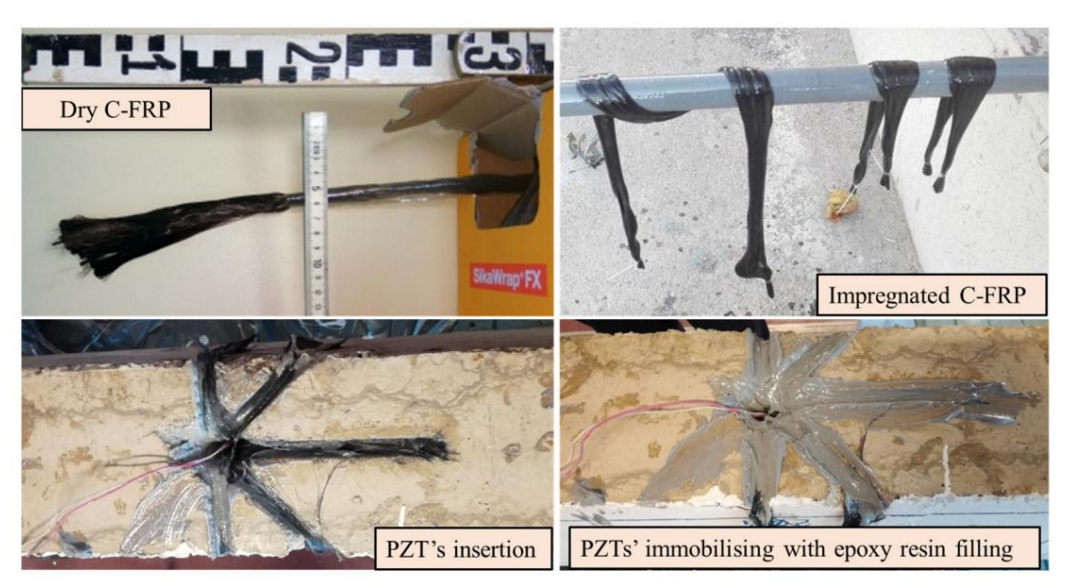
> Evaluación de cambios estructurales, proporcionando información valiosa sobre el estado de salud y la integridad de la viga bajo diferentes condiciones de carga. En este punto, cabe mencionar que todas las mediciones de voltaje se realizaron en condiciones controladas de laboratorio para evitar evitar interferencias por fluctuaciones de temperatura y humedad, interferencias debidas a fluctuaciones de temperatura y humedad.

3.5. Instalación de parches PZT 3.5. Instalación de parches PZT

El haz R-FRP estaba equipado con transductores PZT pequeños y delgados idénticos, cada uno El haz R-FRP estaba equipado con transductores PZT pequeños y delgados idénticos, cada uno El de 10×10×2 mm. Estos parches PZT, denominados PIC151, se tabricarón con unas dimensiones de 10 × 10 × 2 mm. Estos parches PZT, denominados PIC151, fueron fabricados por la empresa PI Cerarhics. En total , la empresa PI ceramics posicionó estratégicamente diez PZT. Un total de diez PZT fueron ubicados estratégicamente dentro del viga en varias configuraciones, como se ilustra en la Figura 2. Seis PZT (tres colocados en la viga en varias configuraciones, como se ilustra en la Figura 2. Seis PZT (tres colocados en la parte delantera) delantero y tres en la parte trasera) estaban unidos externamente con epoxí a ubicaciones mecánicas críticas y tres en la parte trasera) estaban unidos externamente con epoxí a ubicaciones mecánicas críticas en en la superficie de hormigón, particularmente en lugares propensos a grietas por flexión y corte diagonal, la superficie de hormigón particularmente en lugares propensos a grietas por flexión y corte diagonal, grietas, denominadas X1-X6". Se unieron dos PZ1 adicionales al refuerzo de acero, denominados X1-X6". Se unieron dos PZ1 adicionales al refuerzo de acero, con uno colocado en el medio de la barra de refuerzo de acero, con con uno colocado en el medio de la barra de refuerzo tensional (S2R) y el otro en uno colocado en el medio de la barra de refuerzo tensional (S2R) y el otro en el el centro de la barra de refuerzo de flexión (S1R).

Los dos parches PZT restantes se colocaron meticulosamente en las cuerdas C-FRP de acuerdo con el siguiente procedimiento: Los parches PZT se incrustaron simultaneamente según el siguiente procedimiento: Los parches PZT se incorporaron simultáneamente con

con las cuerdas insertadas en cada aquiero perforado. Cada parche PZT se fijó de forma segura a las cuerdas insertadas en cada orificio perforado. Cada parche PZT se fijó de forma segura a la cuerda. cuerda usando un adhesivo epoxi, y los alambres soldados se ataron cuidadosamente a la cuerda usando un adhesivo epoxi, y los alambres soldados se ataron cuidadosamente a la cuerda usando un un componente de neumático y un alambre de acero para asegurar la posición final diseñada del parche PZT: dentro del aquiero. La posición de atada en seleccionó estratégica de la quera que el perche de 27 termie 427 El alambre de acero sirvió como herramienta auxiliar para quiar el cable, el parche PZT y los alambres a través: ad aguierra des pués de loi fundatue retirado o Estas dos parches fuero padesignados como 2,11 y W2, el respectivamente, como se muestra en la Figura 4:



Figures 44. Inserción de los transductores P27T em los crificios perforados ensemblados con las cuerdas CEFREP.

4. Resultados y discusión 4. Resultados y Discusión 4.1. Prueba de extracción 4.1. Prueba de

extracción Para evaluar la eficacia del sistema SHM basado en EMI en la evaluación de la fuerza de unión, se realizó una prueba de extracción utilizando una configuración recta para anclar las cuerdas C-FRP, sin ningún extremo saliente. En este sentido, se fabricaron probetas cúbicas de hormigón para sirven como anfitriones para el anclaje, como se ilustra en la Figura 5.

El proceso implicó impregnar las cuerdas de C-FRP con una resina adecuada y luego insertándolos en agujeros previamente perforados dentro de las muestras del cubo. La resina de anclaje fue Se aplica para rellenar los agujeros y garantizar condiciones óptimas de unión entre la cuerda y el concreto. Dimensiones detalladas de las muestras de cubos, incluida la longitud del incrustado. La sección y la configuración del anclaje se presentan en la Figura 5. Esta configuración proporcionó una ambiente controlado para evaluar la fuerza de unión entre las cuerdas C-FRP y

Aplica. Mec. 2024, 5, PARA REVISIÓN POR PARES

Aplica. Mec. 2024, 5

Para evaluar la efectividad del sistema SHM basado en EMI en la evaluación de la resistencia de la unión, se realizó una prueba de extracción utilizando una configuración recta para anclar las cuerdas C-FRP, sin ningún extremo que sobresalga. En este sentido las probetas cúbicas de hormigón fueron el sustrato de hormigón, lo que facilito una evaluación precisa de la eficacia del SHM. fabricados para servir como antitriones para el anclaie como se illustra en la Figura 5.

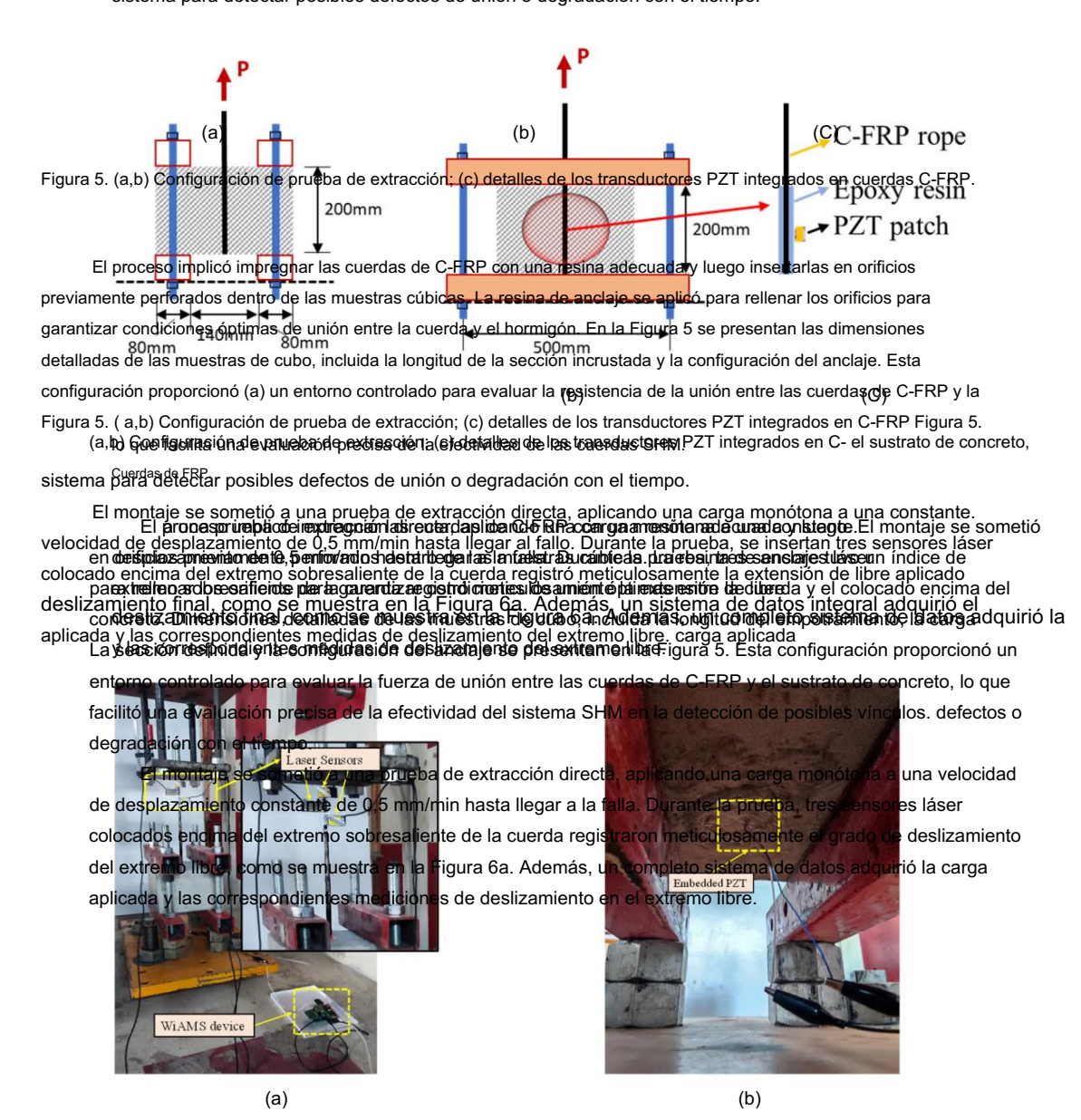


Figura 6. ક્વ\ ્રિજ્સીમાસ્ત્રનુંદાતીન ભૂપુક્તિ લેન્સમાસ્ત્રનુંદારાજ પંજાલકોંડાલ પંજાલકોંડાલ પંજાલકોંડાલ પ્રાપ્ત કર્માણ કરમાણ કરમાં કર્માણ કરમાણ કરમાણ કરમાણ કર્માણ કરમાણ કરમાણ કરમાણ કરમાણ કર્માણ કર્માણ કર્માણ કર્માણ કર્માણ કર્માણ કરમાણ કરમાણ કરમાણ કર્માણ કર્માણ કર્માણ કર્માણ કર્માણ કર્માણ કરમાણ કરમામાણ કર્માણ કર્માણ કર્માણ કર્માણ કર્માણ કર્માણ કર્માણ કરમાણ કરામાણ કરમ

Además Ademhás use and h দিন্ত entre parience Pe Tolestra télegicament del cubo et orificie i justal adria diculta cubo est cubo et orificie i justal adria diculta cubo est cubo et orificia e i justal adria diculta cubo est cubo en la proposicio de la respuesta estructural del sistema de anclaje, proporcionando Información valiosa sobre el comportamiento de unión entre el cable C-FRP y el sustrato de hormigón. durante toda la prueba de retirada.

El diagrama voltaje-frecuencia correspondiente a la prueba de extracción se muestra en la Figura 6. (a) Configuración de prueba de extracción y dispositivo WiAMS; (b) vista invertida del empotramiento 7. En una línea continua negra, la respuesta en la condición pristina de la cuerda C-FRP es transductores PZT instalados en la configuración de los cables C-FRP. representado y anotado como "Saludable". Además, en líneas continuas cian y azul, se representan las mediciones de

respuesta de voltaje en la etapa ascendente y la resistencia máxima a la tracción.
Además, se adjunto un parche PZT estratégicamente colocado a la cuerda interior y se denominó "Dam1" y
"Dam2", respectivamente. Además, en el verde continuo
el orificio pretaladrado del cubo, como se ilustra en la Figura 6b. Este parche PZT jugó una línea crucial: se
representa y denota la medición de voltaje en la etapa descendente posterior al pico.

como "Dam3". Tras el escrutinio del diagrama, se observaron desviaciones discernibles en la Curvas de respuesta entre el estado no dañado y diferentes niveles de daño simulado.

Imagen 7. En una línea negra continua, se representa la respuesta en el estado perfecto de la cuerda C-FRP y se Machine Translated by Google Indica como "Saludable". Además, en líneas continuas cian y azul, las mediciones de respuesta de voltaje en la

etapa ascendente y la resistencia a la tracción máxima se representan y se indican como "Dam1" y "Dam2", respectivamente. Además, en la línea verde continua, se representa la medición de voltaje en la etapa

descendente posterior al pico y

414

denominado "Dam3". Al examinar el diagrama, se observaron desviaciones perceptibles en las curvas de respuesta entre el estado sin daños y diferentes niveles de daño simulado dentro del rango de frecuencia de 120 a 250 kHz.

Esta observación subraya la existencia dentro del rango de frecuencia de 120 a 250 kHz. Esta observación subraya la capacidad de los sensores. la capacidad de los sensores para detectar condiciones de desunión o la falla de los cables C-FRP. La capacidad la capacidad de los sensores para detectar condiciones de desunión o la falla de los cables C-FRP. La capacidad de detectar condiciones de desunión o falla de las cuerdas C-FRP. La magnitud nititud del cambio de paso en la respuesta general del PZT a través de la frecuencia especificada del cambio de paso en la respuesta general del PZT a través del rango de frecuencia especificado El rango indica el alcance de la falla. Estas desviaciones en el diagrama voltaje-frecuencia indicaron el alcance de la falla. Estas desviaciones en el diagrama voltaje-frecuencia proporcionan información valiosa sobre la integridad estructural del sistema de anclaje y permiten proporcionar información valiosa sobre la integridad estructural del sistema de anclaje y permiten proporcionar información valiosa sobre la integridad estructural del sistema de anclaje y permiten proporcionar información valiosa sobre la integridad estructural del sistema de anclaje y permiten proporcionar información valiosa sobre la integridad estructural del sistema de anclaje y permiten proporcionar información valiosa sobre la integridad estructural del sistema de anclaje y permiten proporcionar información valiosa sobre la integridad estructural del sistema de anclaje y permiten proporcionar información valiosa sobre la integridad estructural del sistema de anclaje y permiten proporcionar información valiosa sobre la integridad estructural del sistema de anclaje y permiten proporcionar información valiosa sobre la integridad estructural del sistema de anclaje y permiten proporcionar información valiosa sobre la integridad estructural del sistema de anclaje y permiten proporcionar información valiosa sobre la integridad estructural del sistema de anclaje y permiten proporcionar información valiosa sobre la integridad estructural del sistema de anclaje y permiten proporcionar información valiosa sobre la integridad estructural del sistema de anclasica del sistema de anclasica del sistema del anclasica del sistema del anclasica del sistema del sistema del

sistema de anclaje y permitir la la identificación de posibles defectos de unión o degradación durante la prueba de extracción. identificación de posibles defectos de unión o degradación durante la prueba de extracción.

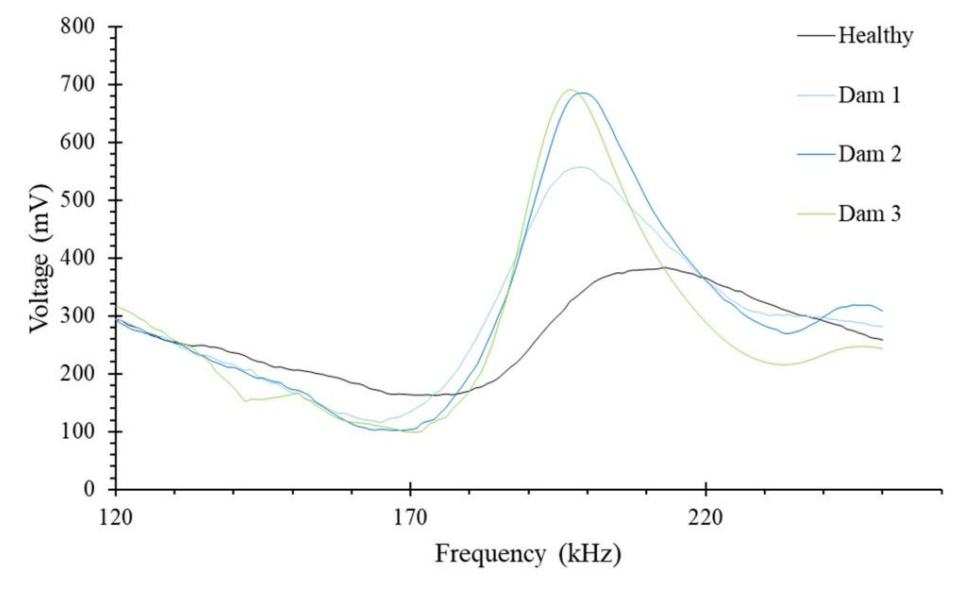


Figura 7. Respuesta de voltaje de PZT bajo prueba de extracción de la cuerda C-FRP. Figura 7. Respuesta de voltaje de PZT bajo prueba de extracción de la cuerda C-FRP.

4.2. Prueba de carga de viga profunda

4.2. Prueba de carga de viga en la viga con una sección transversal rectangular , ilustrado por las curvas que representan la carga aplicada versus la deflexión a mitad del tramo, se presenta en

refrigantial Papa lan amatasique talpado edida comparda midirati generals de deslasi ó typas pitad lectores que salpresenta litar en a i fi igusti ĝa ĉion es prativia struttida da lo propocta diento etrata | 26 | e Aderrigás, los patrones pue alen etans i tento

Aplica. Mec. 2024, 5, PARA REVISIÓN POR PARA FEVISIÓN POR PARA FEV seinfolomatoirimateitian fatlla odeelata reignaas pteotealulastu tahhbje niiseemtaa stradiain lastigu carga lo que proporciona información adicional sobre la respuesta estructural bajo diferentes condiciones de carga.

> 200 10.00 180 9.00 160 Applied Load (kN) 120 6.00 WiAMS measurements 100 5.00 V (kN) - d (mm) 80 4.00 Crack-meter LEFT (mm) 60 3.00 Crack-meter MID (mm) 40 2.00 Crack-meter RIGHT (mm) 20 1.00 0 0.00 10 20 45 0 5 25 30 35 40 Mid-span deflection (mm)

Figura 8. Paranchaeughamianan yang taminda seprementah dalam katandar PRP.

### 4 4.3AAnálisis de lostdatos

EIELISEO DE L'ARRIGIO DE L'ARRI paramanament variaciones en las firmas EMI entre la condición prístina y las condiciones subsiguientes en conditions इमिन्छितिक कि सिक्ता रिक्त कि विभाग राज्य कि प्रतिकार कि सिक्ता राज्य स्थापक स्यापक स्थापक स्यापक स्थापक स्थापक स्थापक स्थापक स्थापक स्थापक स्थापक स्थापक स्था analizadas y evaluadas dentro de este contexto utilizando el índice estadístico RMSD. La expresión del índice se proporciona a continuación en la Ecuación (3).

Aplica. Mec. 2024, 5

fueron analizados y evaluados en este contexto utilizando el índice estadístico RMSD. La expresión del índice se proporciona a continuación en la Ecuación (3).

RMD = 
$$\frac{\overline{r=1} \text{ Vp(fr) } \sum_{\substack{D \ r=1 \text{ Vp(fr) } \Sigma \ 0}} - \text{Vp(fr)} \quad \frac{2}{0}}{(3)}$$

415

donde Vp(fr) se <sub>0</sub> se refiere a la respuesta de voltaje en el estado prístino inicial, mientras que Vp(fr) <sub>D</sub> refiere a las respuestas de voltaje en cualquier estado posterior.

### 4.4. Evaluación de la eficacia de la técnica de adaptación

Con base en los resultados obtenidos de la prueba de extracción y los valores del índice RMSD extraídos en niveles de carga específicos hasta la fractura final del cable C-FRP (como se muestra en la cap. 2024, 5 APARANTES/ISIÓN POR PARES Figura 9), la evaluación del corte residual Se intentó la capacidad de carga de fuerza. Esta evaluación 12 se realizó mediante un enfoque de homogeneización, que implicó correlacionar los valores de RMSD de la prueba de extracción con los adquiridos de la viga profunda.

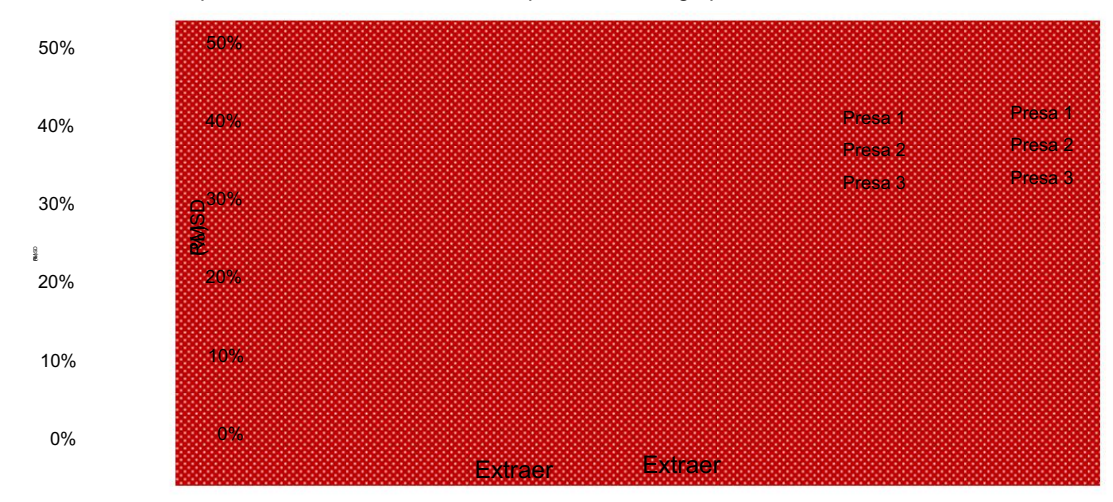


Figura 9. Valores Figura 9. Valores RMSD del RZT bajo prueba de extracción de la cuerda C-FRP:

La carga de extracción máxima registrada fue de aproximadamente 27 kN, correspondiente a un desplazamiento dos PZT adheridos de Granda de Antinas en al antica menso de Granda d

La Figura 10 valida aún más este enfoque.



W1

Figura 10. Modo Figura 10. Modo de falla finat de la cuerda C-FRP.

0%

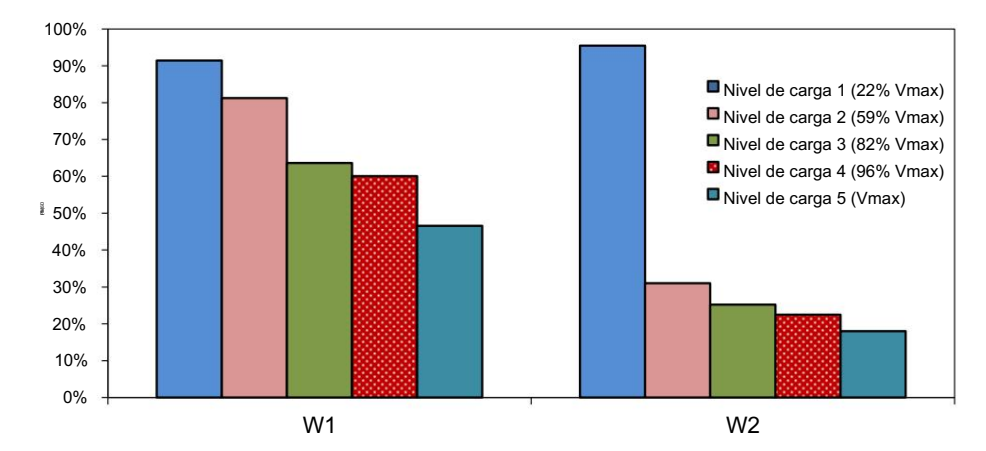
100%	100% Además, todos los valores del índice RMSD obtenidos de los dos PZT adheridos e integrados dentro de los
90%	90% cables de sección pasante se estandarizaron con respecto a los valores obtenidas en el Nivel de carga 1 (22 % Nivel de carga 1 (22 % VIIIaX)
80%	Nivel de carga 1 (22% Vmax) de la prueba de extracción. Este proceso de homogeneización permiti <mark>ń സള്ള പ്രാസ്ത്രവുടുന്നു. s</mark> el Nivel de carga 2 (59% Vmax)
70%	VmaX), la resistencia al corte residual de las cuerdas W1 y Waerespagivamentએ પ્રક્રીની કાર્મકાલ 14 વેમેં જુંઘા 11.
60%	Alineando los valores del índice RMSD del sistema de monitoreo habilitivel de carga 4 (96% Vmax) Con el nivel de cargas (Vmax) obtenido de la prueba de extracción, se obtuvieron conocimientos valiosos sobre la resistencia al
<sub>₹</sub> 50%	cargas (Vmax) obtenido de la prueba de extracción, se obtuvieron conocimientos valiosos sobre la resistencia al
40%	cortഎഴുsidual de las cuerdas y su rendimiento en diferentes condiciones de carga.
30%	30%
20%	20%
10%	10%

W2

Machine Translated by Google

Aplica. Mec. 2024, 5

Figura 10. Modo de falla final de la cuerda C-FRP.



416

Figura 11. Capacidad de resistencia al corte residual de los cables C-FRP embebidos.

En la Figura 111, la reducción gradual de la capacidad de resistencia al corte del cable Wh puede chanous printipalide nei gianto male and printipalide nei gianto male and printipalide de la capacidad de resistencia al corte de la capacidad con que el concreto observarse, A medida que aumentaba la carga, esta grieta continuó ensanchándose, lo que resultó en que el concreto absorbiera una los estados continuó ensanchándose, lo que resultó en que el concreto absorbiera una los estados despristivades desancial ad continuo en que el concreto en la porte de una porción significativa de degradad de contración de la cuerda hacia la derecha disminuyó weste contración de la cuerda hacia la derecha disminuyó weste contración de el contración de la cuerda hacia la derecha disminuyó weste contración de el contración de contración per el firal de desante industrial de contración de contración per el firal de desante industrial de contración de figura de contración de su observación Eque el disprimenta es el forma de contración de contr

Además, esto se refleja en los valores del medidor de fisura izquierdo, donde la apertura de la fisura se redujo notablemente en comparación con el del tramo derecho. Así, hasta ese nivel de carga, la cuerda perdió aproximadamente el 78% de su resistencia al corte total estimada. Estas ideas arrojan luz sobre la interacción dinámica entre los elementos de refuerzo y la estructura Comportamiento, subrayando la importancia de consideraciones reflexivas sobre el posicionamiento y el diseño. para optimizar el rendimiento y la resiliencia contra los mecanismos de falla inducidos por cizallamiento.

Para evaluar más a fondo la eficacia de la innovadora técnica de fortalecimiento, el modelo analítico propuesto por Mofidi et al. [47] se aplicó para calcular la contribución de las cuerdas. a la resistencia total al corte de la viga en el estado de falla. Además, es fundamental garantizar que

La tensión efectiva de las cuerdas C-FRP no supera el 0,4% para lograr un entrelazado suficiente de agregado del concreto e interceptar la apertura de la grieta, según lo recomendado por ACI 440.2R-08 [48].

Al implementar todos los cálculos propuestos descritos en el trabajo relevante de Chalioris et al. [27], se derivaron los siguientes valores:

Vf,ETS, Rcuerda = 39,6 kN

Vf,ETS, Lcuerda = 53,3 kN

Además, partiendo del supuesto de que la resistencia media a la tracción del laminado del la cuerda era de aproximadamente 2000 N/mm2, la resistencia al corte residual total para la cuerda W1 fue calculado como Vf,ETS, Rcuerda = 31,8 kN. De manera similar, para la cuerda W2, la resistencia al corte residual fue calculado como Vf,ETS, Lrope = 49,2 kN, lo que demuestra una notable proximidad del 92,3% al resultados calculados analíticos. Estos hallazgos subrayan la efectividad de la propuesta. técnica de fortalecimiento y resaltar su potencial para estimar con precisión el valor residual Resistencia al corte en aplicaciones a escala real.

### 5. Conclusiones

En este proyecto experimental, una investigación sobre la efectividad de un innovador Técnica de refuerzo que implica el uso de cuerdas C-FRP como refuerzo transversal de corte. se llevó a cabo. Esta evaluación se llevó a cabo mediante la implementación de un método basado en EMI. habilitado por sensores PZT. Además, una aplicación modificada de la métrica del índice estadístico Se empleó RMSD para evaluar la eficacia de la técnica de fortalecimiento.

A diferencia del uso convencional del índice RMSD para expresar niveles de daño o impactos de carga, este estudio utilizó los valores del índice RMSD del 100% para representar el corte residual.

capacidad de fuerza. Este novedoso enfoque evaluó el rendimiento de la técnica de fortalecimiento y demostró una convergencia y precisión prometedoras con las predicciones analíticas. Este análisis comparativo mejora la comprensión de la efectividad de la técnica de refuerzo y proporciona datos valiosos para una mayor optimización y refinamiento de las estrategias de refuerzo estructural.

417

Además, los resultados obtenidos a través del método basado en EMI aplicado presentan una oportunidad importante para servir como una herramienta complementaria confiable para diagnosticar defectos de daño y evaluar la efectividad de los materiales a base de fibra en escenarios en tiempo real. Vale la pena señalar que la presencia de resina epoxi dentro de los orificios perforados puede afectar levemente la precisión de los resultados experimentales obtenidos mediante el enfoque habilitado por PZT basado en EMI.

Además, si bien este estudio muestra una alineación prometedora con las predicciones analíticas sobre la contribución de la cuerda a la resistencia al corte, se justifica un trabajo experimental adicional para evaluar más a fondo y mejorar la fidelidad de la metodología de evaluación propuesta. Al realizar más experimentos, el objetivo es garantizar la solidez y confiabilidad de este novedoso enfoque para aplicaciones a escala real, avanzando así en el campo de las técnicas de refuerzo estructural.

Contribuciones de los autores: Conceptualización, NAP, MCN y GMS; metodología, NAP y MCN; análisis formal, NAP y GMS; investigación, CCA, NAP y GMS; curación de datos, NAP y MCN; redacción: preparación del borrador original, NAP y MCN; redacción: revisión y edición, NAP y CCA; visualización, MCN; supervisión, CEC Todos los autores han leído y aceptado la versión publicada del manuscrito.

Financiamiento: Esta investigación no recibió financiamiento externo

Declaración de disponibilidad de datos: Las contribuciones originales presentadas en el estudio se incluyen en el artículo; más consultas pueden dirigirse a los autores correspondientes.

Conflictos de intereses: Los autores declaran no tener conflictos de intereses.

### Referencias

- Zhang, T.; Visintín, P.; Oehlers, DJ Resistencia al corte de vigas RC con estribos de acero. J. Estructura. Ing. 2016, 142, 04015135. [Referencia cruzada] 2.
   Zararis, PD Falla por compresión por corte en vigas profundas de hormigón armado. J. Estructura. Ing. 2003, 129, 544–553. [Referencia cruzada]
- Godat, A.; L'Hady, A.; Chaallal, O.; Neale, KW Comportamiento de enlace del método de refuerzo por corte de barra ETS FRP. J. Compos. Construcción 2012. 16. 529–539. [Referencia cruzada]
- 4. Azam, R.; Soudki, K.; Oeste, JS; Noël, M. Comportamiento de vigas RC críticas para corte reforzadas con CFRCM. J. Compos. Construcción 2018, 22, 04017046. [Referencia cruzada]
- 5. Karayannis, CG; Sirkelis, GM Fortalecimiento y rehabilitación de uniones entre vigas y columnas de RC mediante revestimiento de carbono-FRP y Inyección de resina epoxi. Tierraq. Estructura de ingeniería. Din. 2008, 37, 769–790. [Referencia cruzada]
- Karayannis, CG; Naoum, MC Comportamiento torsional de estructuras de marco RC de varios pisos debido a la interacción sísmica asimétrica.
   Ing. Estructura. 2018. 163. 93-111. [Referencia cruzada]
- Tsonos, AG Efectividad de las chaquetas de CFRP en la modernización de subconjuntos de vigas y columnas después y antes de un terremoto.
   Estructura. Ing. Mec. 2007, 27, 393–408. [Referencia cruzada]
- Lampropoulos, AP; Dritsos, SE Modelado de columnas RC reforzadas con RC Jackets. Earthq Engng Struct Dyn 2011, 40, 1689-1705. [Referencia cruzada]
- Ma, C.-K.; Apandi, Nuevo México; Sofía, CSY; Ng, JH; He aquí, WH; Awang, AZ; Omar, W. Reparación y rehabilitación de estructuras de hormigón mediante confinamiento: una revisión.
   Construcción Construir. Madre. 2017. 133, 502–515. [Referencia cruzada]
- 10. Azam, R.; Soudki, K.; Oeste, JS; Noël, M. Fortalecimiento de vigas RC críticas para corte: alternativas a las láminas de CFRP adheridas externamente. Construcción Construir. Madre. 2017, 151, 494–503. [Referencia cruzada]
- Ferreira, D.; Oller, E.; Marí, A.; Bairán, J. Análisis Numérico de Vigas RC Críticas a Cortante Reforzadas en Cortante con Láminas de FRP.
   J. Compos. Construcción 2013, 17, 04013016. [Referencia cruzada]
- 12. Baggio, D.; Soudki, K.; Noël, M. Fortalecimiento de vigas RC críticas al corte con varios sistemas de FRP. Construcción Construir. Madre. 2014, 66, 634–644. [Referencia cruzada]
- 13. Aguilar, V. Resistencia al corte de miembros de hormigón: desafíos, desarrollos recientes y posibilidades. Adv. Civilización. Ing. Tecnología. 2020,
  - 4, 1-2. [Referencia cruzada]
- 14. I,sık, E.; Uluta,s, H.; Harirchian, E.; Avcil, F.; Aksoylu, C.; Arslan, MH Evaluación basada en el desempeño de un edificio RC con columnas cortas debido a los diferentes principios de diseño. Edificios 2023, 13, 750. [CrossRef]

- 15. Pan, Z.; Li, B. Evaluación de metodologías de diseño de resistencia al corte para vigas RC delgadas críticas al corte. J. Estructura. Ing. 2013, 139,
  - 619-622. [Referencia cruzada
  - 16. Papadopoulos, NA; Naoum, MC; Sapidis, GM; Chalioris, CE Identificación de fisuras y desunión de fibras de vigas profundas de hormigón reforzadas con cuerdas de C-FRP contra corte mediante un sistema de monitoreo en tiempo real. Polímeros 2023, 15, 473. [CrossRef]

418

- 17. Bilotta, A.; Ceroni, F.; Di Ludovico, M.; Nigro, E.; Pecce, M.; Manfredi, G. Eficiencia de adherencia de los sistemas EBR y NSM FRP para reforzar miembros de hormigón. J. Compos. Construcción 2011. 15. 757–772. [Referencia cruzada]
- 18. Seo, S.-Y.; Feo, L.; Hui, D. Resistencia de adherencia de placas de FRP montadas cerca de la superficie para modernización de estructuras de hormigón. Compos. Estructura. 2013. 95. 719–727. [Referencia cruzada]
- Breveglieri, M.; Aprile, A.; Barros, JAO Técnica de refuerzo por corte de sección transversal integrada utilizando barras de acero y CFRP en Vigas RC de Diferente Porcentaje de Estribos Existentes. Compos. Estructura. 2015, 126, 101-113. [Referencia cruzada]
- 20. Li, P.; Wang, H.; Nie, D.; Wang, D.; Wang, C. Un método para analizar el rendimiento de durabilidad a largo plazo de estructuras subterráneas de alcantarillas de hormigón armado bajo cargas mecánicas y ambientales acopladas. J. Intel. Construcción 2023, 1, 9180011.
- 21. Dijo, M.; Adán, MA; Mahmoud, AA; Shanour, AS Evaluación experimental y analítica de corte de vigas de hormigón reforzadas con barras de polímeros reforzados con fibra de vidrio.

  Construcción Construir. Madre. 2016, 102, 574–591. [Referencia cruzada]
- 22. Naoum, M.; Sapidis, G.; Papadopoulos, N.; Golías, E.; Chalioris, C. Monitoreo del estado estructural de uniones entre vigas y columnas de hormigón armado mediante transductores piezoeléctricos. En Actas de la Conferencia Internacional RILEM sobre Sinergia de Experiencia hacia la Sostenibilidad y Robustez de Materiales a Base de Cemento y Estructuras de Hormigón, Milos, Grecia, 14 a 16 de junio de 2023; J.edrzejewska, A., Kanavaris, F., Azenha, M., Benboudjema, F., Schlicke, D., Eds.; Serie de libros RILEM. Springer Nature: Cham, Suiza, 2023; Volumen 43, págs. 945–956. [Referencia cruzada]
- Turner, L.; Davies, VC Hormigón simple y armado en torsión, con especial referencia a vigas de hormigón armado. Sel. Ing. Papilla. 1934. 1. 165. [Referencia cruzada]
- 24. Chalioris, CE; Papadopoulos, NA; Sapidis, G.; Naoum, MC; Golias, E. Método de monitoreo basado en EMA de uniones reforzadas entre vigas y columnas. En Actas de la Conferencia Internacional ISCRAM, Omaha, NE, EE. UU., 28 a 31 de mayo de 2023; págs. 853–873.
- Alam, P.; Mamalis, D.; Roberto, C.; Floreani, C.; Brádaigh, CMÓ. La fatiga de los plásticos reforzados con fibra de carbono: una revisión.
   Compos. Parte B Ing. 2019, 166, 555–579. [Referencia cruzada]
- Zhu, X.; Abe, H.; Hayashi, D.; Tanaka, H. Características de comportamiento de vigas RC con corrosión no uniforme a lo largo del reforzamiento. J. Intel. Construcción 2023, 1, 9180019. [Referencia cruzada]
- 27. Chalioris, C.; Kosmidou, P.-M.; Papadopoulos, N. Investigación de una nueva técnica de refuerzo para vigas profundas RC utilizando Cuerdas de carbono FRP como refuerzos transversales. Fibras 2018, 6, 52. [CrossRef]
- 28. Bazli, M.; Abolfazli, M. Propiedades mecánicas de polímeros reforzados con fibras a temperaturas elevadas: descripción general. Polímeros 2020, 12, 2600. [Referencia cruzada]
- 29. Kytinou, VK; Gribniak, V.; Zapris, AG; Chalioris, CE Un enfoque innovador de monitoreo de la salud para el diagnóstico de desunión de polímeros reforzados con fibra mediante pruebas de extracción y cizallamiento. En Métodos Analíticos y Experimentales en Ingeniería Mecánica y Civil; Springer: Cham, Suiza, 2024; Volumen 28, págs. 228-239. [Referencia cruzada]
- 30. Ju, S.; Li, D.; Jia, J. Investigación experimental y evaluación de daños de un nuevo anclaje de tipo adhesivo para fibra de carbono Tendones de polimero reforzado. J. Civilización. Estructura. Monitor de salud. 2023, 13, 117-132. [Referencia cruzada]
- 31. El-Sisi, AA; El-Emam, HM; El-Kholy, AE-MI; Ahmad, SS; Sallam, HM; Salim, HA Comportamiento estructural de vigas RC que contienen aberturas perforadas no reforzadas con y sin refuerzo CFRP. Polímeros 2022, 14, 2034. [CrossRef]
- 32. Baena, M.; Jahani, Y.; Torres, L.; Barris, C.; Perera, R. Rendimiento a la flexión y predicción de la desunión final de vigas de hormigón armado reforzadas con FRP con carbono NSM bajo diferentes temperaturas de servicio. Polímeros 2023, 15, 851. [CrossRef]
- 33. Perera, R.; Gil, A.; Torres, L.; Barris, C. Diagnóstico del refuerzo NSM FRP en hormigón mediante el uso de modelos de efectos mixtos y Enfoques EMI. Compos. Estructura. 2021, 273, 114322. [Referencia cruzada]
- 34. Pellón, L.; Ciminello, M.; Mercurio, U.; Apuleo, G.; Concilio, A. Un sistema de monitoreo del estado estructural para la detección de fallas en la línea de unión en un demostrador de sección Wingbox a gran escala. Aplica. Mec. 2024, 5, 36–57. [Referencia cruzada]
- 35. Ai, D.; Mo, F.; Yang, F.; Zhu, H. Detección de daños estructurales del hormigón basada en impedancia electromecánica mediante análisis de componentes principales incorporado con red neuronal. J. Intel. Madre. Sistema. Estructura. 2022, 33, 2241–2256. [Referencia cruzada]
- 36. Ai, D.; Zhang, D.; Zhu, H. Localización de daños en una estructura de losa de hormigón armado mediante técnica de impedancia electromecánica y algoritmo de imágenes ponderado por probabilidad. Construcción Construir. Madre. 2024, 424, 135824. [Referencia cruzada]
- 37. Sapidis, GM; Kansizoglou, I.; Naoum, MC; Papadopoulos, NA; Chalioris, CE Un enfoque de aprendizaje profundo para la identificación autónoma de daños por compresión en hormigón reforzado con fibra utilizando transductores piezoeléctricos de titanato de circonato y plomo.

  Sensores 2024 24 386 [CrossRef]
- 38. Wang, Z.; Chen, D.; Zheng, L.; Huo, L.; Song, G. Influencia de la carga axial en la impedancia electromecánica (EMI) de los dispositivos integrados. Transductores piezocerámicos en hormigón con fibras de acero. Sensores 2018, 18, 1782. [CrossRef]
- 39. Naoum, MC; Papadopoulos, NA; Voutetaki, YO; Chalioris, CE Monitoreo del estado estructural de prismas de concreto reforzado con fibras con macrofibras de poliolefina utilizando una red de materiales piezoeléctricos bajo diversas tensiones inducidas por cargas. Edificios 2023, 13, 2465. [CrossRef]

40. Naoum, MC; Sapidis, GM; Papadopoulos, NA; Voutetaki, ME Una aplicación basada en impedancia electromecánica de monitoreo en tiempo real para la tensión de flexión inducida por carga y el daño en concreto reforzado con fibras. Fibras 2023, 11, 34.

419

#### [Referencia cruzada]

- 41. Khatir, A.; Capozucca, R.; Kathir, S.; Magagnini, E.; Benaissa, B.; Cuong-Le, T. Un aumento de gradiente mejorado y eficiente para la tensión. Predicción en viga RC reforzada con FRP NSM. Frente. Estructura. Civilización. Ing. 2024, en prensa.
- 42. Reddy, PN; Kavyateja, BV; Jindal, BB Métodos de monitoreo de la salud estructural, dispersión de fibras, propiedades micro y macro estructurales, detección y propiedades mecánicas del concreto autodetectable: una revisión. Estructura. Concr. 2021, 22, 793–805. [Referencia cruzada
- 43. Perera, R.; Huerta, MC; Baena, M.; Barris, C. Análisis de vigas de hormigón armado reforzadas con FRP mediante técnica de impedancia electromecánica y sistema de correlación de imágenes digitales. Sensores 2023, 23, 8933. [CrossRef]
- 44. Li, D.; Zhou, J.; Ou, J. Daños, evaluación no destructiva y rehabilitación de la estructura compuesta de FRP-RC: una revisión. Construcción Construir. Madre. 2021, 271, 121551. [Referencia cruzada]
- 45. Khatir, A.; Capozucca, R.; Khatir, S.; Magagnini, E.; Benaissa, B.; Le Thanh, C.; Wahab, MA Un nuevo híbrido PSO-YUKI para doble Identificación de grietas en viga voladiza de CFRP. Compos. Estructura. 2023, 311, 116803. [Referencia cruzada]
- 46. Providakis, C.; Tsistrakis, S.; Voutetaki, M.; Tsompanakis, J.; Stavroulaki, M.; Agadakos, J.; Kampianakis, E.; Pentes, G.; Liarakos, E. Una innovadora plataforma de detección activa para el monitoreo inalámbrico de daños en estructuras de hormigón. actual. Madre inteligente. 2016, 1, 49–62. [Referencia cruzada]
- 47. Mofidi, A.; Chaallal, O.; Benmokrane, B.; Neale, K. Pruebas experimentales y modelo de diseño para vigas RC reforzadas en corte
  Uso del método FRP integrado a través de la sección. J. Compos. Construcción 2012. 16. 540–550. [Referencia cruzada]
- 48. ACI (Instituto Americano del Concreto). Guía para el diseño y construcción de sistemas FRP adheridos externamente para reforzar el hormigón Estructuras; ACI-440.2R-08; Instituto Americano del Concreto (ACI): Farmington Hills, MI, EE.UU., 2008; pag. 76.

Descargo de responsabilidad/Nota del editor: Las declaraciones, opiniones y datos contenidos en todas las publicaciones son únicamente de los autores y contribuyentes individuales y no de MDPI ni de los editores. MDPI y/o los editores renuncian a toda responsabilidad por cualquier daño a personas o propiedad que resulte de cualquier idea, método, instrucción o producto mencionado en el contenido.